

Московский физико-технический институт
(национальный исследовательский университет)
Институт теоретической физики им. Л.Д.Ландау РАН

Аномальный эффект Холла в сверхчистых
баллистических электронных каналах
(Дипломная работа бакалавра)

Студент группы Б02-927:
Зограбян Д.С.

Научный руководитель:
д.ф.-м.н., член-корр. РАН Глазов М.М.

МФТИ 2023

Аннотация

Развита теория аномального эффекта Холла для двумерного вырожденного электронного газа в сверхчистых каналах. Исследован баллистический режим распространения электронов, когда частота рассеяния электронов на других электронах, фононах и статических дефектов значительно меньше, чем обратное время пролета ширины канала. Эффект изучен с учетом вкладов от аномальной скорости, сдвига волнового пакета и асимметричного рассеяния. Было использовано кинетическое уравнение в приближении времени релаксации для учета рассеяния электронов на примесях и использовались граничные условия, соответствующие диффузному рассеянию на стенках. Был найден аномальный вклад в холловское напряжение в первом порядке по внешнему магнитному полю. Приведено соотношение между спиновой поляризацией системы находящейся лишь в электрическом поле с холловским напряжением в системе с магнитным полем.

Содержание

1	Введение	3
2	Постановка задачи	6
2.1	Спиновая/долинная поляризация электронов в магнитном поле	6
2.2	Функция распределения при наличии электрического поля	8
2.3	Нормальный эффект Холла в баллистическом канале	10
3	Спиновый и аномальный эффекты Холла	14
3.1	Механизмы спинового эффекта Холла	14
3.1.1	Аномальная скорость	14
3.1.2	Асимметричное рассеяние	14
3.1.3	Сдвиг волнового пакета	16
3.1.4	Аномальное распределение	16
3.2	Аномальный эффект Холла в баллистическом канале	17
3.3	Анализ и обсуждение результатов	20
4	Заключение	23

1 Введение

В последние годы активно изучаются транспортные явления в двумерных системах. Одно из таких явлений это долинный ([1, 4, 10]) или спиновый эффект Холла ([1, 4, 6–9]), когда из за спин-орбитального взаимодействия появляется перпендикулярный электрическому полю спиновый или долинный ток (рис.1). Спиновый и долинный эффекты Холла в баллистическом и гидродинамическом каналах были изучены в работе [1]. При наличии внешнего магнитного поля электроны поляризуются по спину и/или долине и спиновый/долинный ток конвертируется в электрический. Таким образом возникает вклад в эффект Холла, называемый аномальным. Аномальный эффект Холла широко исследовался для обычных диффузионных образцов. Цель данной работы построить теорию для баллистического канала.

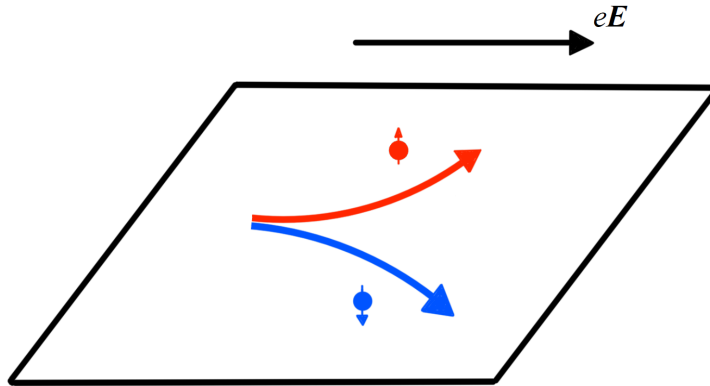


Рис. 1: Появление спинового тока при наличии внешнего электрического поля.

Мы будем изучать вырожденный электронный газ в баллистическом режиме, то есть когда длина свободного пробега электронов за счет электрон-электронных, электрон-фоонных и электрон-присмесных столкновений намного больше характерных размеров системы: $l_{ee}, l_{ph}, l_{imp} \gg w$. Рассматривается модель с диффузными стенками в одном направлении (ось x), в перпендикулярном направлении (ось y) канал предполагается бесконечно протяженным. Электрическое поле приложено вдоль оси y . Перпендикулярно плоскости движения электронов имеется магнитное поле (рис. 2).

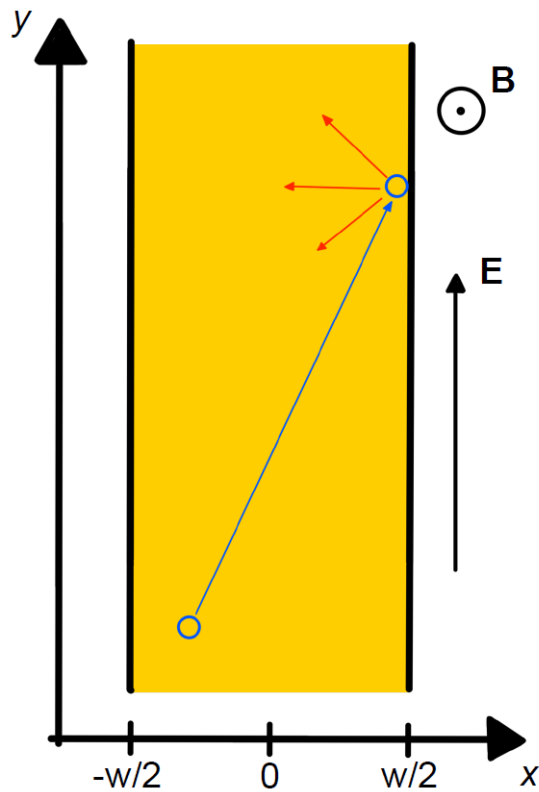


Рис. 2: Баллистический канал с диффузными стенками и магнитным полем перпендикулярно плоскости движения электронов.

Из за наличия магнитного поля на электроны действует сила Лоренца и электроны начинают накапливаться возле одной из стенок. Появляется так называемое холловское напряжение между стенками канала. Холловское напряжение, обусловленное действием силы Лоренца (т.е. нормальный эффект Холла [5]), для баллистических двумерных каналов было изучено в работе [2].

В работе [1] была изучена спиновая поляризация, возникающая в такой системе. Из-за механизмов, которые мы будем дальше обсуждать в разделе 2.3 электроны при наличии лишь электрического поля разделялись по спину. Электроны с разными спинами имели аномальные скорости разных знаков в направлении Ox . Интегралы столкновений для асимметричного рассеяние за счет спин-орбитального взаимодействия имели разные знаки и т.д. За счет этого, на краях образца появлялся

ненулевой магнитный момент. На противоположных краях его направление было противоположным. В нашей задаче имеется магнитное поле, перпендикулярное плоскости системы, которое снимает вырождение энергии по спину. Энергия электрона, спин которого направлен вдоль магнитного поля меньше чем энергия электрона с противоположным спином, а значит электронов со спином вдоль магнитного поля станет больше чем электронов с противоположным спином¹. Количественно мы эту спиновую поляризацию опишем в разделе 2.1. Из за того, что спинов направленных вдоль уже стало больше чем спинов направленных против, то так как разные спины рассеиваются в разном направлении, появится нескомпенсированный заряд на стенках и соответственно напряжение между ними. Этот эффект и будет давать аномальный вклад в холловское напряжение. Наша цель состоит в том, чтобы рассчитать этот вклад.

¹Мы предполагаем определенный знак g -фактора электронов. Степень поляризации электронов меняет знак при смене знака g .

2 Постановка задачи

2.1 Спиновая/долинная поляризация электронов в магнитном поле

Для начала посчитаем степень спиновой поляризации нашей системы при наличии магнитного поля. Гамильтониан отвечающий за зеемановское расщепление будет выглядеть следующим образом [12]:

$$\mathcal{H}_Z = \frac{1}{2}\gamma\mu_B\boldsymbol{\sigma}\mathbf{B} \quad (1)$$

Где γ - g -фактор электрона, который отличен от двойки в кристаллах из за спин-орбитального взаимодействия, $\boldsymbol{\sigma}$ -вектор из матриц Паули. Магнитное поле у нас направлено по Oz . Собственные энергии будут $\mp\frac{\gamma}{2}\mu_B B$ соответственно для спинов вдоль и против магнитного поля.

Химический потенциал двух подсистем электронов с разными спинами равны так как состояние у нас считается равновесным (рис. 3).

Запишем выражения для концентраций электронов со спинами соответственно вдоль и против магнитного поля:

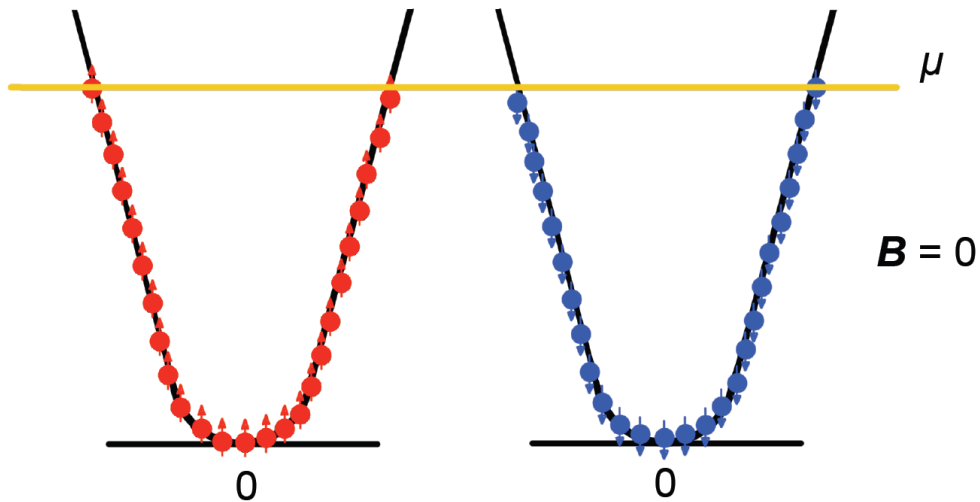
$$N_{\pm} = \int_{\mp\frac{\gamma}{2}\mu_B B}^{+\infty} \frac{1}{e^{\frac{\varepsilon-\mu}{T}} + 1} \frac{d^2p}{(2\pi\hbar)^2} = \frac{m}{2\pi\hbar^2} \int_{\mp\frac{\gamma}{2}\mu_B B}^{+\infty} \frac{d\varepsilon}{e^{\frac{\varepsilon-\mu}{T}} + 1} \quad (2)$$

$$\begin{aligned} \int \frac{d\varepsilon}{e^{\frac{\varepsilon-\mu}{T}} + 1} &= \left| x \equiv \frac{\varepsilon - \mu}{T} \right| = T \int \frac{dx}{e^x + 1} = T \int \frac{e^{-x} dx}{1 + e^{-x}} = \\ &= -T \int d \ln(1 + e^{-x}) \quad (3) \end{aligned}$$

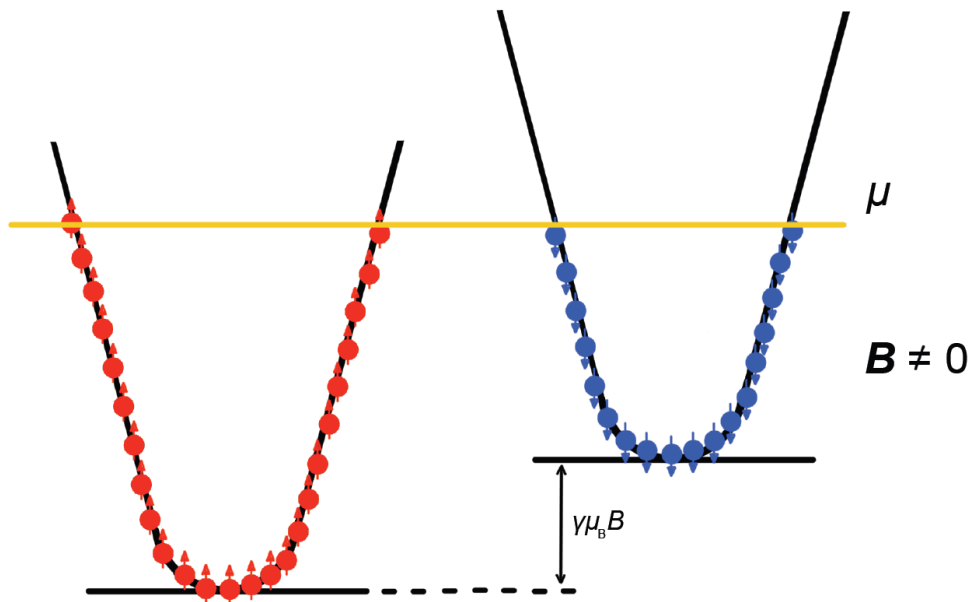
$$N_{\pm} = -gT \ln \left(1 + e^{-\frac{\varepsilon-\mu}{T}} \right) \Big|_{\mp\frac{\gamma}{2}\mu_B B}^{+\infty} = gT \ln \left(1 + e^{\frac{\pm\frac{\gamma}{2}\mu_B B + \mu}{T}} \right) \quad (4)$$

Здесь было использовано обозначение для плотности состояний в двумерии на одну проекцию спина $g \equiv m/(2\pi\hbar^2)$. У нас $\mu \approx \varepsilon_F \gg T; \mu_B B$, поэтому единицу в логарифме можно убрать и тогда получится:

$$N_{\pm} = g(\varepsilon_F \pm \frac{\gamma}{2}\mu_B B) \quad (5)$$



(a) Зоны проводимости для разнонаправленных спинов при отсутствии магнитного поля



(b) Зоны проводимости для разнонаправленных спинов при включенном магнитном поле

Рис. 3: Заполненность зон проводимости для случаев нулевого магнитного поля (a) и включенного внешнего магнитного поля (b)

В дальнейшем нам ещё встретится полуразность этих концентраций – средний спин, поэтому введем обозначение:

$$S_z = \frac{N_+ - N_-}{2} = \frac{\gamma}{2} g \mu_B B \quad (6)$$

Мы не учли изменение химического потенциала, так как оно квадратично по малому магнитному полю. Это можно понять к примеру из симметричных соображений. Если поменять направление магнитного поля, то очевидно химический потенциал в равновесном состоянии не поменяется, поэтому его изменение не может зависеть линейно от магнитного поля.

2.2 Функция распределения при наличии электрического поля

Для начала рассмотрим задачу с учетом только статического электрического поля $\mathbf{E} \parallel y$ и с диффузными стенками на оси x на расстоянии w друг от друга. В этой работе будем считать, что длина свободного пробега электрон-электронных столкновений намного больше чем длина электрон-примесных столкновений. Граничные условия на функцию распределения электронов будут следующими:

$$f_{\mathbf{p}}(\pm w/2) = \begin{cases} \text{const}, & p_x > 0, & x = -w/2, \\ \text{const}, & p_x < 0, & x = w/2. \end{cases} \quad (7)$$

Тогда кинетическое уравнение на функцию распределения запишется следующим образом [13]:

$$\mathbf{v} \frac{\partial f_{\mathbf{p}}}{\partial \mathbf{r}} + e \mathbf{E} \frac{\partial f_{\mathbf{p}}}{\partial \mathbf{p}} = -\frac{f_{\mathbf{p}} - \bar{f}_{\mathbf{p}}}{\tau} + Q_{ee}, \quad e < 0. \quad (8)$$

Система находится в равновесии, поэтому частная производная по времени нулевая. Здесь $\bar{f}_{\mathbf{p}}$ - усредненная по направления импульса функция распределения, которая вообще говоря отличается (но мало) от функции распределения Ферми-Дирака f_0 , так как в системе имеется замороженный беспорядок в виде примесей, τ -время релаксации электронов на примесях, Q_{ee} -Интеграл электрон-электронных столкновений, который в нашей работе берем равным нулю т.к. $l_{ee} \gg l_{imp}$. Производная функции распределения по y зануляется т.к. система у нас трансляционно

инвариантна по y ². Сделаем замену $\delta f_{\mathbf{p}} = f_{\mathbf{p}} - \overline{f_{\mathbf{p}}}$ и оставим в члене с электрическим полем только f_0 , т.к. считаем изменение функции распределения малым и ищем только линейный по полю вклад. Кинетическое уравнение преобразуется следующим образом:

$$v_x \frac{\partial \delta f_{\mathbf{p}}(x)}{\partial x} + eE v_y f'_0 + \frac{\delta f_{\mathbf{p}}(x)}{\tau} = 0, \quad (9)$$

где v_x, v_y соответственно проекции скорости на оси x и y , а f'_0 -производная функции распределения Ферми-Дирака по энергии: $f'_0 = -\delta(\varepsilon - \varepsilon_F)$, где ε_F - энергия Ферми. Решение уравнения будем искать в виде суммы двух вкладов один из которых будет зависеть от координаты а другой нет: $\delta f_{\mathbf{p}} = f_1 + f_2(x)$. Тогда уравнение (9) переписется следующим образом:

$$v \cos \varphi \frac{\partial f_2(x)}{\partial x} + eE v \sin \varphi f'_0 + \frac{f_1 + f_2(x)}{\tau} = 0 \quad (10)$$

Здесь φ -угол между импульсом и осью x . Так как газ у нас вырожденный, то скорость порядка фермиевской: $v \approx v_F$, и

$$\begin{cases} f_1 = eEl \sin \varphi (-f'_0), \\ f_2(x) = \text{const} \cdot \exp\left(-\frac{x}{l \cos \varphi}\right), \end{cases} \quad (11)$$

где $l = v_F \tau$ - время свободного пробега электронов на примесях, Учитывая граничные условия (7) решение уравнения будет следующим:

$$\delta f_{\mathbf{p}}(x) = eEl(-f'_0) \sin \varphi \cdot \left\{ 1 - \exp\left[-\frac{x + w/2 \text{sign}(\cos \varphi)}{l \cos \varphi}\right] \right\} \quad (12)$$

Для узких каналов $w \ll l$ решение можно разложить до первого порядка по w/l :

$$\delta f_{\mathbf{p}}(x) \approx eE(-f'_0) \sin \varphi \frac{x + w/2 \text{sign}(\cos \varphi)}{\cos \varphi}. \quad (13)$$

Данное выражение нам ещё неоднократно понадобится так как магнитное поле мы будем считать малым возмущением относительно системы с электрическим полем.

²Строго говоря, трансляционная инвариантность есть только “в среднем” по реализациям расположения примесей. Однако, нас не будут интересовать так называемые мезоскопические эффекты.

2.3 Нормальный эффект Холла в баллистическом канале

Перейдем к решению задачи с малым (по сравнению с электрическим) магнитным полем $B \parallel z$ (x, y, z образуют правую тройку). Этот раздел посвящен нормальному эффекту Холла, обусловленному действием силы Лоренца на двумерные электроны. Наша цель – воспроизвести результат для нормального эффекта Холла из работ [2,3]. В стационарном состоянии при наличии внешнего электрического поля \mathbf{E} и магнитного поля \mathbf{B} появляется холловское электрическое поле \mathbf{E}_H , параллельное оси x . Кинетическое уравнение запишется следующим образом:

$$\mathbf{v} \frac{\partial f_{\mathbf{p}}}{\partial \mathbf{r}} + e(\mathbf{E} + \mathbf{E}_H) \frac{\partial f_{\mathbf{p}}}{\partial \mathbf{p}} + \frac{e}{c} [\mathbf{v} \times \mathbf{B}] \frac{\partial f_{\mathbf{p}}}{\partial \mathbf{p}} = -\frac{f_{\mathbf{p}} - \overline{f_{\mathbf{p}}}}{\tau}. \quad (14)$$

Здесь, как и раньше, $\overline{f_{\mathbf{p}}}$ среднее функции распределения по направлениям импульса. Теперь у нас имеется малое магнитное поле, поэтому изменение функции распределения будет не только выражение (12), но ещё добавится член связанный с магнитным полем. Подставим $f_{\mathbf{p}} = f_0 + \delta f_{\mathbf{p}} + \Delta f_{\mathbf{p}}$, где $\delta f_{\mathbf{p}}$ из (12) изменение функции распределения за счет наличия электрического поля, $\Delta f_{\mathbf{p}} \ll \delta f_{\mathbf{p}}$ добавка в функцию распределения из-за магнитного поля. Перепишем член с магнитным полем в (14) в более удобной форме. Перепишем градиент (импульсный) и векторное произведение в цилиндрических координатах:

$$\frac{\partial f_{\mathbf{p}}}{\partial \mathbf{p}} = \frac{\partial f_{\mathbf{p}}}{\partial p} \hat{e}_p + \frac{1}{p} \frac{\partial f_{\mathbf{p}}}{\partial \varphi} \hat{e}_{\varphi}, \quad (15)$$

$$[\mathbf{v} \times \mathbf{B}] = -vB \hat{e}_{\varphi}. \quad (16)$$

Подставляя скалярное произведение (15) и (16) в кинетическое уравнение (14) и учитывая направления векторов \mathbf{E} и \mathbf{E}_H получим следующее уравнение:

$$v_x \frac{\partial f_{\mathbf{p}}}{\partial x} + eE v_y f'_0 + eE_H v_x f'_0 + \omega_c \frac{\partial f_{\mathbf{p}}}{\partial \varphi} + \frac{\delta f_{\mathbf{p}} + \Delta f_{\mathbf{p}} - \overline{\Delta f_{\mathbf{p}}}}{\tau} = 0, \quad (17)$$

где мы ввели циклотронную частоту $\omega_c = -eB/mc > 0$. Исключая из получившегося уравнения часть, удовлетворяющую уравнению (9) в отсутствии магнитного поля, получим следующее:

$$v_x \frac{\partial \Delta f_{\mathbf{p}}}{\partial x} + eE_H v_x f'_0 + \omega_c \frac{\partial \delta f_{\mathbf{p}}}{\partial \varphi} + \frac{\Delta f_{\mathbf{p}} - \overline{\Delta f_{\mathbf{p}}}}{\tau} = 0 \quad (18)$$

Из этого уравнения требуется найти E_H и $\Delta f_{\mathbf{p}}$. С помощью известного приема, основанного на переходе от химического к электрохимическому потенциалу, можно легко найти только холловское поле. Для этого умножим уравнение (18) на плотность состояний на одну проекцию спина и проинтегрируем это уравнение по энергии и сделаем следующие подстановки:

$$\Delta F_{\varphi} = g \int \Delta f_{\mathbf{p}} d\varepsilon_p, \quad \varepsilon = \frac{p^2}{2m}, \quad g = \frac{m}{2\pi\hbar^2} \quad (19)$$

$$\begin{aligned} \delta F_{\varphi} &= g \int \delta f_{\mathbf{p}} d\varepsilon_p = egEl \sin \varphi \cdot \left\{ 1 - \exp \left[- \frac{x + w/2 \operatorname{sign}(\cos \varphi)}{l \cos \varphi} \right] \right\} \approx \\ &\approx egE \sin \varphi \frac{x + w/2 \operatorname{sign}(\cos \varphi)}{\cos \varphi} \quad (20) \end{aligned}$$

Смысл умножения на плотность состояний в том, что теперь $\overline{\Delta F_{\varphi}}$ имеет смысл локальной концентрации (а точнее её изменения). Интегрируя получим следующее уравнение:

$$v_x \frac{\partial \Delta F_{\varphi}}{\partial x} - egE_H v_x + \omega_c \frac{\partial \delta F_{\varphi}}{\partial \varphi} + \frac{\Delta F_{\varphi} - \overline{\Delta F_{\varphi}}}{\tau} = 0 \quad (21)$$

Сделаем замену $\Delta \tilde{F}_{\varphi}(x) = \Delta F_{\varphi}(x) + eg\Phi(x)$, где $-\partial\Phi/\partial x = E_H$, которая соответствует переходу к электрохимическому потенциалу. Тогда получится уравнение на $\Delta \tilde{F}_{\varphi}$:

$$v_x \frac{\partial \Delta \tilde{F}_{\varphi}}{\partial x} + \omega_c \frac{\partial \delta F_{\varphi}}{\partial \varphi} + \frac{\Delta \tilde{F}_{\varphi} - \overline{\Delta \tilde{F}_{\varphi}}}{\tau} = 0 \quad (22)$$

Важно отметить, что $\overline{\Delta \tilde{F}_{\varphi}} \ll eg\Phi$, т.к. кулоновское отталкивание между электронами дает намного большой вклад в ток, чем градиент концентрации. Значит $egE_H \approx -\partial\Delta \tilde{F}/\partial x$. Решим уравнение (22) раскладывая функцию распределение по нулевой и первой гармоникам³.

$$\Delta \tilde{F}_{\varphi} = F_0 + F_1 \cos \varphi. \quad (23)$$

³На самом деле можно было бы решить и без учета первой гармоники, так как в дальнейшем окажется, что её учет дает лишь малую поправку. Но всё таки для наглядности учтём первую гармонику. Более высокие гармоники так же дают поправки меньшего порядка.

Подставляя данное разложение в (22) и учтём (20). После усреднения по углам получим уравнение на первую гармонику. Чтобы получить уравнение на нулевую гармонику, умножим уравнение на $\cos \varphi$ и только тогда усредним по углам. Получившиеся уравнения будут следующими:

$$\begin{cases} \frac{v}{2} \frac{\partial F_1}{\partial x} + \omega_c eg E \cdot \frac{1}{2\pi} \int_0^{2\pi} \frac{d\varphi}{\cos^2 \varphi} \left(x + \frac{w}{2} \cdot \text{sign}(\cos \varphi) \right) = 0 \\ \frac{v}{2} \frac{\partial F_0}{\partial x} + \omega_c eg E \cdot \frac{1}{2\pi} \int_0^{2\pi} \frac{d\varphi}{\cos \varphi} \left(x + \frac{w}{2} \cdot \text{sign}(\cos \varphi) \right) + \frac{F_1}{2\tau} = 0. \end{cases} \quad (24)$$

В первом уравнении при интегрировании останется только член с координатной зависимостью, так как второй занулится по четности. Первообразная подынтегрального выражения это просто $\tan \varphi$, который расходится. Наше приближение в (20) работает только при $\cos \varphi \gg w/l$, а значит нужно сделать обрезку при $\tan \varphi \simeq l/w$. Тогда выражение для первой гармоники получится следующим⁴:

$$F_1 = -2\omega_c \tau eg E \frac{x^2}{w}. \quad (25)$$

Далее рассмотрим интеграл во втором уравнение в (24). На этот раз по четности занулится координатная часть. Оставшаяся часть расходиться и нужна обрезка по аналогии с предыдущим интегралом при углах $\cos \varphi_0 \simeq w/l$. Разделяя интегралы на 4 одинаковых в разных квадрантах получим:

$$\begin{aligned} \frac{1}{2\pi} \frac{w}{2} \int_0^{2\pi} \frac{d\varphi}{\cos \varphi} \cdot \text{sign}(\cos \varphi) &= \frac{w}{\pi} \int_0^{\varphi_0} \frac{d\varphi}{\cos \varphi} = \frac{w}{\pi} \int_0^{\varphi_0} \frac{d \sin \varphi}{1 - \sin^2 \varphi} = \\ &= \frac{w}{2\pi} \int_0^{\varphi_0} \left(\frac{1}{1 - \sin \varphi} + \frac{1}{1 + \sin \varphi} \right) d \sin \varphi = \frac{w}{2\pi} \ln \frac{1 + \sin \varphi_0}{1 - \sin \varphi_0} = \\ &= \frac{w}{2\pi} \ln \left(\frac{4l^2}{w^2} \right) \approx \frac{w}{\pi} \ln \frac{l}{w}. \end{aligned} \quad (26)$$

Здесь последнее равенство написано с логарифмической точностью с учетом $w \ll l$. Учитывая связь $eg E_H = -\partial F_0 / \partial x$, получим из второго уравнения в (24) выражение для холловского поля:

$$E_H = E \cdot 2\omega_c \tau \left(\frac{w}{\pi l} \ln \frac{l}{w} - \frac{x^2}{wl} \right) \quad (27)$$

⁴Правда тут численный коэффициент есть превышение точности, но оставим его, просто чтобы окончательное выражение было немного красивее

Видно, что основной вклад в холловское поле дал интеграл во втором уравнении (24), а первая гармоника дала лишь параметрически малый вклад, т.к. $\ln(l/w) \gg 1$. Основной вклад в холловское поле будет:

$$E_H = E \cdot \omega_c \tau \frac{2w}{\pi l} \ln \frac{l}{w} \quad (28)$$

Представляется полезным сравнить этот ответ для E_H с холловским полем, возникающим в диффузионных системах в малых полях $\omega_c \tau \ll 1$. В этом случае поле Холла имеет вид $E_H = \omega_c \tau E$. В баллистических каналах роль эффективного времени рассеяния играет отношение:

$$(w/v_F \ln(l/w)) \ll \tau.$$

Поэтому холловское поле в баллистическом канале параметрически меньше, чем в диффузионном.

3 Спиновый и аномальный эффекты Холла

Аномальный эффект Холла связан с генерацией холловского поля за счет конверсии спинового тока в электрический и, соответственно, возникновением дополнительного заряда на краях образца.

3.1 Механизмы спинового эффекта Холла

Для начала кратко обсудим механизмы которые приводят к спиновому эффекту Холла. Будем обсуждать модель описывающий двумерные полупроводниковые системы, такие как дихалькогениды переходных металлов (MoS_2 , WS_2 , ...). Данные механизмы подробно рассматривались в ряде работ, см., например, в [4] и приведенные там ссылки.

3.1.1 Аномальная скорость

Из за наличия кривизны Берри имеется аномальный вклад в скорость, который не зависит от механизмов рассеяния [14] (anomalous velocity):

$$\mathbf{v}_a = -\frac{2\xi e}{\hbar}[\hat{\mathbf{z}} \times \mathbf{E}], \quad \xi = \frac{\gamma^2}{E_g^2}, \quad \gamma = \frac{\hbar p_{cv}}{m_0}, \quad (29)$$

где $\hat{\mathbf{z}}$ единичный вектор по оси z , E_g - расстояние между валентной зоной и зоной проводимости, p_{cv} - матричный элемент оператора импульса между валентной зоной и зоной проводимости. Важно отметить, что мы считаем энергию Ферми ε_F электронов в зоне проводимости намного меньше щели E_g . Для электронов с противоположными проекциями спина во внешнем поле $\mathbf{E} \parallel y$ скорости будут направлены вдоль и против оси x :

$$v_a^\pm = \pm \frac{2\xi}{\hbar} eE. \quad (30)$$

Остальные вклады связаны с процессами рассеяния электронов. Обсудим их подробнее.

3.1.2 Асимметричное рассеяние

Спин-орбитальное взаимодействие приводит к асимметричному рассеянию электронов на примесях [4] (skew scattering). Будем считать, что

примеси короткодействующие и разбросаны случайным образом. Тогда потенциал примесей запишется следующим образом:

$$V_{c,v}(\mathbf{r}) = \sum_i U_{c,v} \delta(\mathbf{r} - \mathbf{R}_i), \quad (31)$$

где индексы c и v соответствуют зоне проводимости и валентной зоне. Можно найти время свободного пробега электронов на примесях через золотое правило Ферми:

$$\frac{1}{\tau} = \frac{2\pi}{\hbar} n_{imp} \sum_{\mathbf{k}'} |U_c|^2 \cdot \delta(\varepsilon_{\mathbf{k}} - \varepsilon_{\mathbf{k}'}) = \frac{2\pi}{\hbar} g |U_c|^2 n_{imp}, \quad (32)$$

где n_{imp} - концентрация примесей в системе. Напомним, что $g = m/(2\pi\hbar^2)$ - плотность состояний на одну проекцию спина.

Интегралы столкновений на примесях соответственно для спинов вдоль и против оси z будут следующими:

$$G_{sk}^{\pm} = \pm \xi S_{imp} g \cdot \int_0^{\infty} d\varepsilon_p \sum_{\mathbf{p}'} [\mathbf{p}' \times \mathbf{p}]_z \delta(\varepsilon_p - \varepsilon_p') \delta f_{\mathbf{p}'}(x), \quad (33)$$

$$S_{imp} = \frac{2\pi U_v}{\tau} - \frac{U_v}{U_c} \frac{\hbar}{g \varepsilon_F \tau^2}. \quad (34)$$

Здесь первый член отвечает вкладу третьего порядка по потенциалу примеси, а второй – когерентному рассеянию на парах примесей. Выражение для δf_p дается формулой (12). Выражение для интеграла столкновений получится следующим:

$$G_{sk}^{\pm}(\varphi, x) = \pm 4 S_{imp} \tau \frac{\tau w}{\hbar \pi l} \ln \left(\frac{l}{w} \right) \frac{\xi e}{\hbar} E N_{\pm}^2 \cdot \cos \varphi \quad (35)$$

Напомним, что N_{\pm} - концентрации электронов со спинами направленными вдоль и против магнитного поля. Наличие анизотропной генерации приводит к возникновению тока.

Отметим, что в (35) имеется $\ln(l/w) \gg 1$. При выводе этой формулы мы пользовались приближенным выражением (13), которое перестает работать при углах $\cos \varphi \simeq w/l$, поэтому при интегрировании углы, соответствующие скользкому падению электронов на стенки канала, “обрезались”: $\varphi \simeq \pi/2 - w/l$. В следующем за логарифмическом приближении возникает координатная зависимость генерации, но она нас не интересует.

3.1.3 Сдвиг волнового пакета

Из за сдвига волнового пакета во время рассеяния на примесях получается добавка к скорости электронов, которая имеет разный знак для каждой из проекции спинов [4] (side jump velocity или side jump accumulation):

$$v_{sj}^{\pm} = \pm \frac{2\pi}{\hbar N_{\pm}} \sum_{\mathbf{p}\mathbf{p}'} X_{\mathbf{p}'\mathbf{p}} |M_{\mathbf{p}'\mathbf{p}}|^2 \cdot \delta(\varepsilon_{\mathbf{p}'} - \varepsilon_{\mathbf{p}}) \delta f_{\mathbf{p}}(x), \quad (36)$$

где $M_{\mathbf{p}'\mathbf{p}}$ - матричный элемент потенциала (31), а

$$\mathbf{R}_{\mathbf{p}'\mathbf{p}} \equiv (X_{\mathbf{p}'\mathbf{p}}, Y_{\mathbf{p}'\mathbf{p}}) = \frac{\xi}{\hbar} \left(1 + \frac{U_v}{U_c}\right) [(\mathbf{k}' - \mathbf{k}) \times \hat{\mathbf{z}}] \quad (37)$$

– элементарный сдвиг электронного волнового пакета при рассеянии. Физически, возникновение сдвига волнового пакета обусловлено аномальной скоростью, индуцированной потенциалом примеси.

Используя приближенное выражение для $\delta f_{\mathbf{p}}$ (13)⁵ получаем в главном порядке по $\ln l/w \gg 1$

$$v_{sj} = \mp \left(1 + \frac{U_v}{U_c}\right) \frac{w}{\pi l} \ln \left(\frac{l}{w}\right) \frac{2\xi}{\hbar} eE \quad (38)$$

Видно, что сдвиговая скорость не зависит от координаты x . Зависимость от координаты может появиться в следующем за логарифмическим приближением, но такие вклады обладают малостью и нас не интересуют.

3.1.4 Аномальное распределение

Сдвиги волновых пакетов приводят к еще одному вкладу в спиновый эффект Холла. Этот вклад связан с тем, что сдвиг волнового пакета в электрическом поле сопровождается изменением его энергии, а значит рассеяние на примесях становится асимметричным и может приводить к генерации тока [4]. Соответствующий вклад называют вкладом аномального распределения (anomalous distribution). Интеграл столкновений с

⁵Это выражение перестает работать при углах $\cos \varphi \simeq w/l$, поэтому делалась обрезка $\varphi \simeq \pi/2 - w/l$, которая и приводит к возникновению логарифма в (38) по аналогии с тем, что возникает при асимметричном (skew) рассеянии.

учетом работы поля запишется следующим образом:

$$G_{adist}^{\pm}(\varphi, x) = \pm \frac{2\pi}{\hbar} g \int_0^{\infty} d\varepsilon_p \sum_{\mathbf{p}'} |M_{p'p}|^2 (eE Y_{\mathbf{p}'\mathbf{p}}) \cdot \delta'(\varepsilon_{p'} - \varepsilon_p) [f_0(\varepsilon_{p'}) - f_0(\varepsilon_p)], \quad (39)$$

где обозначения такие же как и в предыдущем пункте. После интегрирования получится результат:

$$G_{adist}^{\pm} = \mp \left(1 + \frac{U_v}{U_c}\right) \frac{2\xi e}{l\hbar} EN^{\pm} \cos \varphi. \quad (40)$$

Выражения для аномальной скорости v_a^{\pm} (30), v_{sj}^{\pm} (38), а также для генерации G_{sk}^{\pm} (35), G_{adist}^{\pm} (40) составляют основу для расчет аномального вклада в поле Холла в баллистических каналах.

3.2 Аномальный эффект Холла в баллистическом канале

Перейдем теперь к ключевой части нашей задачи: расчету аномального эффекта Холла в баллистическом канале. Для этого запишем уравнение уже проинтегрированное по энергиям кинетическое уравнение (22) с учетом аномальных вкладов. Так как наша система находится в магнитном поле и поляризована по спинам, то нужно записать кинетическое уравнение уже для каждой из проекций спина (или для электронов из разных долин в двухдолинном полупроводнике):

$$\frac{\partial}{\partial x} \left[v_x \Delta F_{\varphi}^{\pm}(x) + (v_a^{\pm} + v_{sj}^{\pm}) N_{\pm} \right] - egE_H v_x + \omega_c \frac{\partial \delta F_{\varphi}^{\pm}}{\partial \varphi} + \frac{\Delta F_{\varphi}^{\pm} - \overline{\Delta F_{\varphi}^{\pm}}}{\tau} = G^{\pm}. \quad (41)$$

Как и раньше мы не учитываем электрон-электронные столкновения, темп генерации $G^{\pm} = G_{sk}^{\pm} + G_{adist}^{\pm}$ - интеграл столкновений от асимметричного рассеяния (35) и аномального распределения (40), v_a и v_{sj} , соответственно, аномальная скорость из-за кривизны Берри и сдвига волнового пакета, которые даются уравнениями (30) и (38). Важно отметить, что перед аномальными скоростями стоят концентрации электронов для двух проекций соответственно, которая равна нулевой гармонике интегрированной функции распределения (среднее по углам): $N_{\pm} = \overline{F_{\varphi}^{\pm}}$. Мы

оставляем перед аномальными скоростями лишь концентрацию электронов в равновесном состоянии при наличии лишь магнитного поля, так как при дальнейших наших действиях в главном порядке перед $v_{a/sj}$ останется только $S_z = (N_+ - N_-)/2$, а остальные вклады перед $v_{a/sj}$ будут линейные по аномальным скоростям а значит это уже будет второй порядок малости.

Как и в разделе 2.3 нас интересует холловское поле E_H . Сделаем следующую подстановку:

$$\Delta F_\varphi = \frac{\Delta F_\varphi^+ + \Delta F_\varphi^-}{2}, \quad \delta F_\varphi = \frac{\delta F_\varphi^+ + \delta F_\varphi^-}{2}, \quad (42)$$

где введены поправки функции распределения электронов. Используя то обстоятельство, что для аномальных скоростей $v_a^+ = -v_a^-$, $v_{sj}^+ = -v_{sj}^-$, и воспользовавшись соотношением (6), переписываем уравнение (41) следующим образом:

$$\begin{aligned} \frac{\partial}{\partial x} \left[v_x \Delta F_\varphi(x) + (v_a^+ + v_{sj}^+) S_z \right] - eg E_H v_x + \omega_c \frac{\partial \delta F_\varphi}{\partial \varphi} + \frac{\Delta F_\varphi - \overline{\Delta F_\varphi}}{\tau} = \\ = \frac{G^+ + G^-}{2}. \end{aligned} \quad (43)$$

Делая такую же замену как и при переходе от (21) к (22), т.е. переходя к электрохимическому потенциалу, перепишем уравнение (43) в виде

$$\frac{\partial}{\partial x} \left[v_x \Delta \tilde{F}_\varphi(x) + (v_a^+ + v_{sj}^+) S_z \right] + \omega_c \frac{\partial \delta F_\varphi}{\partial \varphi} + \frac{\Delta \tilde{F}_\varphi - \overline{\Delta \tilde{F}_\varphi}}{\tau} = G_b \cos \varphi. \quad (44)$$

Темп генерации G_b ⁶ может быть представлен как сумма вкладов аномального распределения и асимметричного рассеяния:

$$G_b = G_{sk} + G_{adist}, \quad (45)$$

$$G_{sk} = 8 S_{imp} \tau \frac{\tau w}{\hbar \pi l} \ln \left(\frac{l}{w} \right) \frac{\xi e}{l \hbar} E N_1 S_z, \quad (46)$$

$$G_{adist} = - \left(1 + \frac{U_v}{U_c} \right) \frac{2 \xi e}{l \hbar} E S_z, \quad (47)$$

⁶Индекс b указывает на то, что канал баллистический.

где N_1 - концентрация электронов на одну проекцию спина в системе без внешних полей. Решение уравнения (44) будет состоять из нормальной части (22) и интересующих нас аномальных вкладов. Можно исключить из уравнения (44) части отвечающие за нормальный эффект Холла в соответствии с уравнением (22) и получить уравнение на аномальную часть интегральной функции распределения:

$$\frac{\partial}{\partial x} \left[v_x \Delta \tilde{F}_\varphi(x) + (v_a^+ + v_{sj}^+) S_z \right] + \frac{\Delta \tilde{F}_\varphi - \overline{\Delta \tilde{F}_\varphi}}{\tau} = G_b \cos \varphi. \quad (48)$$

Так как вклады у нас входят линейно в функцию распределения, то запишем отдельно уравнения на вклад от аномальных скоростей и на вклад от интеграла столкновений G_b . Начнем с аномальных скоростей. Уравнение будет следующим:

$$\frac{\partial}{\partial x} \left[v \cos \varphi \cdot \Delta \tilde{F}_\varphi(x) + v_{a/sj}^+ S_z \right] + \frac{\Delta \tilde{F}_\varphi - \overline{\Delta \tilde{F}_\varphi}}{\tau} = 0. \quad (49)$$

Здесь среднее по углам от выражения в квадратных скобках есть ни что иное как поток частиц в направлении x . Потока через границ нет, а значит это среднее должно зануляться. Перепишем функцию распределения через нулевую и первую гармоники⁷:

$$\Delta \tilde{F}_\varphi = F_0 + F_1 \cos \varphi. \quad (50)$$

Подставляя это разложение в уравнение (49) и выделяя члены с нулевыми и первыми гармониками получим следующую систему:

$$\begin{cases} \frac{\partial}{\partial x} \left(\frac{v}{2} F_1 + v_a^+ S_z \right) = 0 \\ v \frac{\partial F_0}{\partial x} = -\frac{F_1}{\tau} \end{cases} \quad (51)$$

Здесь в круглых скобках в первом уравнении уже стоит ни что иное как поток частиц. Из условия, что поток нулевой сразу найдем первую гармонику, а из второго уравнения в (51) найдём и нулевую гармонику. Тогда интегральная функция распределения будет выглядеть следующим

⁷Вообще говоря можно записать и вторую гармонику и убедиться, что в баллистическом режиме она зануляется, так как аномальные скорости не зависят от координаты. В гидродинамическом пределе ($l_{ee} \ll w \ll l_{imp}$) это уже не так и надо учитывать вторую гармонику (см. [15])

образом:

$$\Delta \tilde{F}_\varphi^{a/sj} = 2 \frac{v_{a/sj}^+ x}{v_F l} S_z - 2 \cos \varphi \frac{v_{a/sj}^+}{v_F} S_z. \quad (52)$$

Как обсуждалось выше в баллистическом режиме аномальные скорости не зависят от координаты, поэтому вклады в холловское поле от аномальных скоростей принимают простой вид

$$E_H^{a/sj} = -\frac{2S_z v_{a/sj}^+}{eg v_F l}. \quad (53)$$

Для нахождения вкладов от асимметричного рассеяния и аномального распределения такой вывод через разложение по гармоникам избыточен, так как интеграл столкновений пропорционален $\cos \varphi$ и нулевая гармоника функции распределения (среднее) отвечающая этому вкладу сразу получается из уравнения (48) (а именно нулевая нам и нужна для нахождения холловского поля). Вклады от асимметричного рассеяния и аномального распределения запишутся в следующей форме:

$$\Delta \tilde{F}_\varphi^{sk/adist} = \frac{x}{v_F} G_{sk/adist}, \quad (54)$$

причем скорости генерации $G_{sk/adist}$ не зависят от координат. Соответственно, их вклады в холловское поле имеют вид

$$E_H^{sk/adist} = -\frac{1}{eg v_F} G_{sk/adist}. \quad (55)$$

Уравнения (53) и (55) являются решениями поставленной задачи.

3.3 Анализ и обсуждение результатов

Проанализируем полученные результаты. Для начала выделим основные вклады в аномальный эффект Холла. Так как в баллистическом канале $(w/l) \ln(l/w) \ll 1$, то основные вклады в аномальное холловское поле вносят аномальная скорость и аномальное распределение:

$$\overline{\Delta F_\varphi^b} = \overline{\Delta F_\varphi^a} + \overline{\Delta F_\varphi^{adist}} = \left(1 - \frac{U_v}{U_c}\right) \frac{2\xi e}{v_F \hbar} E S_z \frac{x}{l}, \quad (56)$$

$$E_H^b = E_H^a + E_H^{adist} = -\frac{2\xi}{g v_F \hbar} \left(1 - \frac{U_v}{U_c}\right) E S_z \frac{1}{l}. \quad (57)$$

Остальные вклады от асимметричного рассеяния и сдвигов волновых пакетов содержат малый параметр $w/l \ln(l/w)$:

$$\overline{\Delta F_\varphi^{sj}} + \overline{\Delta F_\varphi^{sk}} = S_z \frac{4\xi e E}{v_F \hbar} \frac{w}{\pi l} \ln\left(\frac{l}{w}\right) \frac{x}{l} \left(\frac{2\pi U_v \tau g \varepsilon_F}{\hbar} - 1 - 2 \frac{U_v}{U_c} \right), \quad (58)$$

и соответственно для холловского поля:

$$E_H^{sj} + E_H^{sk} = -S_z \frac{4\xi E}{g v_F \hbar l} \frac{w}{\pi l} \ln\left(\frac{l}{w}\right) \left(\frac{2\pi U_v \tau g \varepsilon_F}{\hbar} - 1 - 2 \frac{U_v}{U_c} \right). \quad (59)$$

Аналогичные выводы были сделаны в статье [1] относительно соотношений между вкладками в спиновый или долинный ток. Физически очевидно, что в сверхчистом канале рассеяние подавлено, поэтому основную роль должен играть вклад от аномальной скорости. Кроме этого, вклад от аномального распределения и генерируется в меру рассеяния на примесях, и релаксирует за счет рассеяния на примесях, поэтому он также не содержит малого параметра $(w/l) \ln(l/w) \ll 1$ и частично компенсирует вклад аномальной скорости. Подчеркнем, что в отличие от систем с диффузионным распространением электронов в баллистических каналах полная компенсация вклада от аномальной скорости не происходит. Это связано с тем, что заметная часть импульса теряется на стенках канала, а не в его объеме, см., подробности, в [1].

Интересно заметить, что нормальный вклад в холловское поле (28) имеет малый параметр $(w/l) \ln(l/w) \ll 1$. Основные вклады в аномальной части не имеют такого малого параметра. У них имеется малость по параметру $(\varepsilon_F/E_g)^2$, т.е. квадрат отношения между энергией Ферми в зоне проводимости и размером щели между зоной проводимости и валентной зоной. В случае когда эффективные потенциалы примесей для электронов в зоне проводимости и в валентной зоне равны: $U_c = U_v$, тогда главный вклад в аномальное холловское поле занулится и тогда надо будет рассмотреть следующий порядок (59). В этих вкладах уже имеется параметр малости $(w/l) \ln(l/w) \ll 1$ как в нормальной части холловского поля, и конечно заодно есть малость по $(\varepsilon_F/E_g)^2$.

Обсудим связь между нашими результатами и результатами статьи [1]. Введем величину характеризующую степень поляризации электронов в магнитном поле $P_s = S_z/(N_1)$. В статье [1] обсуждалась спиновая поляризация баллистического канала при наличии лишь электрического поля, то есть отклонение концентраций электронов с разнонаправленны-

ми спинами от равновесного значения. Она получалась следующей:

$$\Delta N_b^\pm = \pm \left(1 - \frac{U_v}{U_c}\right) \frac{2\xi e}{v_F \hbar} E N_1 \frac{x}{l}. \quad (60)$$

Данное выражение связана с нулевой гармоникой интегральной функции распределения (или, проще говоря, с изменением локальной плотности электронов) следующим простым соотношением:

$$\overline{\Delta F_\varphi^b} = \Delta N_b^+ P_z. \quad (61)$$

Среднее от интегральной функции распределения, как мы уже отмечали, равна с точностью до множителя eg электростатическому потенциалу, а значит связь можно переписать в виде:

$$eg\Phi_a(x) = \Delta N_b^+(x)P_z, \quad (62)$$

где Φ_a – аномальный вклад в электростатический потенциал соответствующий холловскому полю (57). В случае баллистического канала холловское поле получается независимым от координаты, поэтому можно легко переписать данную связь через разность потенциалов на краях образца, а именно

$$\Delta N_b^\pm(x) = \pm \frac{1}{P_z} \frac{V_H^a}{eg} \frac{x}{w}, \quad (63)$$

где V_H^a - аномальный вклад в холловское напряжение. Эту связь можно эквивалентным образом переписать как выражение холловского напряжения через спиновую поляризацию:

$$V_H^a = egP_z \frac{w}{x} \Delta N_b^\pm(x). \quad (64)$$

Важно отметить, что такая связь будет только в баллистическом канале. К примеру в гидродинамическом случае такой связи не реализуется. Дело в том, что при наличии электрон-электронных столкновений происходит релаксация спинового тока при столкновениях электронов с разными проекциями спина, а релаксации электрического тока не происходит из за сохранения импульса при электрон-электронных столкновениях, вне зависимости от проекций спинов (см. подробнее в [15]).

4 Заключение

В данной работе мы построили теорию аномального эффекта Холла в сверхчистых электронных каналах на основе двумерных полупроводников. Электронный газ считался вырожденным, а движение электронов – баллистическим, т.е. предполагалось, что время пролета ширины канала w/v значительно меньше, чем время электрон-примесных, электрон-фононных и электрон-электронных столкновений. Рассеяние электронов на стенках канала считалось диффузным.

Внешнее электрическое поле было направлено вдоль канала, оно приводит к постоянному электрическому току. Магнитное поле было направлено по нормали к плоскости канала, оно приводит к двум эффектам: силе Лоренца и, соответственно, нормальному эффекту Холла, и спиновой или долинной поляризации электронов, что в сочетании со спин-орбитальным взаимодействием приводит к аномальному эффекту Холла.

Мы учли следующие механизмы, дающие вклад в аномальную часть холловского напряжения [разд. (3.1)]: аномальная скорость за счет кривизны Берри (anomalous velocity), асимметричное рассеяние на примесях (skew scattering) и сдвиг волнового пакета (side jump). Эффект сдвига приводит к двум вкладом: добавке к аномальной скорости, связанной с накоплением сдвигов (side jump accumulation), и вкладу аномального распределения (anomalous distribution).

В результате учета всех имеющихся механизмов [разд. 3.2] мы получили холловское поле для случая когда электрон примесные столкновения намного чаще чем электрон-электронные. Были выявлены два основных механизма, которые приводят к главному вкладу в аномальный эффект Холла: аномальная скорость и аномальное распределение. При этом холловское поле однородно. Остальные механизмы дают вклады, которые меньше по параметру $w/l \ln(l/w)$, где l – длина свободного пробега электронов на примесях. Они так же однородны в канале. Учет более малых вкладов привел бы к неоднородным в канале вкладом, которые малы по параметру w/l .

Также получена простая связь между спиновой поляризацией, возникающей в канале за счет спинового эффекта Холла, и аномальным вкладом в холловское напряжение, возникающее при наличии магнитного поля.

Список литературы

- [1] M. M. Glazov, Valley and spin accumulation in ballistic and hydrodynamic channels, *2D Mater.* **9**, 015027 (2022)
- [2] P. S. Alekseev and M. A. Semina, Hall effect in a ballistic flow of two-dimensional interacting particles, *Phys Rev B* **100**, 125419 (2019)
- [3] P. S. Alekseev and M. A. Semina, Ballistic flow of two-dimensional interacting electrons, *Phys. Rev. B* **98**, 165412 (2018)
- [4] M. M. Glazov and L. E. Golub, Valley Hall effect caused by the phonon and photon drag, *Phys Rev B* **102**, 155302 (2020)
- [5] E. H. Hall, XXXVIII. On the new action of magnetism on a permanent electric current, *The London, Edinburgh, Dublin Philos. Mag. J. Sci.* **5**, 157 (1881).
- [6] M.I. Dyakonov, V.I. Perel, Current induced spin orientation of electrons in semiconductors, *Phys. Lett. A* **35A**, 459 (1971)
- [7] J. E. Hirsch, Spin Hall effect *Phys. Rev. Lett.* **83**, 1834 (1999)
- [8] J. Wunderlich, B. Kaestner, J. Sinova, and T. Jungwirth, Experimental Observation of the Spin-Hall Effect in a Two-Dimensional Spin-Orbit Coupled Semiconductor System, *Phys. Rev. Lett.* **94**, 047204 (2005)
- [9] Alexey Kavokin, Guillaume Malpuech, and Mikhail Glazov, Optical spin Hall effect, *Phys. Rev. Lett.* **95**, 136601 (2005)
- [10] Mak K.F., McGill K.L., Park J. and McEuen P.L., The valley Hall effect in MoS2 transistors, *Science* **344** 1489–92 (2014)
- [11] Naoto Nagaosa, Jairo Sinova, Shigeki Onoda, A. H. MacDonald, and N. P. Ong, Anomalous Hall effect, *Rev. Mod. Phys.* **82** 1539–92 (2010)
- [12] L.D. Landau and E.M. Lifshitz, *Quantum Mechanics (1977): Non-Relativistic Theory* (Oxford: Butterworth-Heinemann)
- [13] L.D. Landau and E.M. Lifshitz, *Physical Kinetics (1981)* (Oxford: Butterworth-Heinemann)

- [14] N.A. Sinitsyn, Semiclassical theories of the anomalous Hall effect, J. Phys.: Condens. Matter. **20** 023201 (2007)
- [15] К.К. Григорян, *Аномальный эффект Холла в гидродинамическом режиме*, Выпускная квалификационная работа бакалавра, МФТИ (2023).